

УДК 537.622.4:539.216.2

©1994

## К МОДЕЛИ ИДЕАЛЬНОЙ СВЕРХСТРУКТУРЫ ДЛЯ МНОГОСЛОЙНЫХ ПЛЕНОК Co/Cu

О.И.Касютич

На основании рассчитанных и экспериментальных данных показано, что вид рентгеновского профиля определяется количественным соотношением числа атомных плоскостей в единичной ячейке сверхструктуры. Предложенное разложение на составляющие известной формулы интенсивности отраженных на сверхструктуре R-лучей позволило качественно описать особенности дифракции рентгеновских лучей на структурах, состоящих из чередующихся слоев атомных плоскостей элементов разного сорта.

Исследование структуры многослойных пленок является одним из ключевых моментов в понимании и объяснении многих уникальных физических свойств этого нового класса тонкопленочных материалов. Метод дифракции рентгеновских лучей, отличающийся простотой осуществления, большой информативностью, наряду с получением экспериментальных результатов позволяет создавать численные модели сверхструктур. Необходимость модельных представлений оправдана тем, что к настоящему времени нет полной ясности в понимании физической картины одного из проявлений многослойности — сверхструктурных рефлексов на рентгеновских спектрах искусственных слоистых материалов с ультратонкими чередующимися слоями атомных плоскостей элементов разного сорта.

В работе [1] нами был проведен численный анализ рентгеновского спектра многослойной системы Co/Cu. В качестве модели для расчета была использована идеальная сверхрешетка, единичная ячейка которой состоит из  $n$  атомных плоскостей Co и  $m$  атомных плоскостей меди. Расчет интенсивности отраженных от сверхрешетки лучей производился на основании кинематической теории рассеяния рентгеновских лучей [2] по формуле

$$J(\theta) = \frac{1 + \cos^2 2\theta}{\sin \theta \sin 2\theta} \left| \left\{ \sum_{L=0, i=1}^{N, n} \exp \left[ -W_{Co} \left( \frac{\sin \theta}{\lambda_x} \right)^2 \right] f_{Co}(\theta) \sigma_{Co} \times \right. \right. \\ \times \exp \left( i \frac{4\pi \sin \theta x_i}{\lambda_x} \right) + \sum_{L=0, j=1}^{N, m} \exp \left[ -W_{Cu} \left( \frac{\sin \theta}{\lambda_x} \right)^2 \right] f_{Cu}(\theta) \sigma_{Cu} \times \\ \left. \left. \times \exp \left( i \frac{4\pi \sin \theta x_j}{\lambda_x} \right) \right\} \right|^2,$$

где  $\theta$  — угол дифракции,  $f_{\text{Co}}(\theta)$  и  $f_{\text{Cu}}(\theta)$  — функции рассеяния атомов Co и Cu,  $\sigma_{\text{Co}}$  и  $\sigma_{\text{Cu}}$  — плотности атомов Co и Cu в их плоскостях (111) ГЦК решеток,  $W_{\text{Co}}$  и  $W_{\text{Cu}}$  — коэффициенты Дебая—Валлера. Более подробное описание всех констант и переменных дано в работе [1].

Координаты атомных плоскостей  $x_i$  и  $x_j$  задавались формулами

$$x_i = N(nd_{\text{Co}} + md_{\text{Cu}}) + id_{\text{Co}}, \quad i = 1 \dots n, \quad (2)$$

$$x_j = N(nd_{\text{Co}} + md_{\text{Cu}}) + nd_{\text{Co}} + jd_{\text{Cu}}, \quad j = 1 \dots m, \quad (3)$$

где  $N$  — число бислоев,  $d_{\text{Co}}$  и  $d_{\text{Cu}}$  — межслойные расстояния для плоскостей (111) Co и Cu в ГЦК-решетках.

Произведенные расчеты позволили исследовать влияние количества атомных плоскостей  $n$  и  $m$  в единичной ячейке сверхструктуры на картину рентгеновского профиля. Вместе с тем в работе поставлен ряд вопросов, потребовавших дополнительных расчетов и сопоставлений с экспериментальными данными. Было не ясно, почему не совпадают межплоскостные расстояния  $d_{\text{Co}}^{(111)}$  и  $d_{\text{Cu}}^{(111)}$ , входящие в расчетную формулу в виде констант и полученные по формуле Вульфа—Брэгга из углового положения максимумов интенсивности на рассчитанном спектре. Аналогичные противоречия пытались объяснить авторы работы [3]. Кроме того, во многих работах, посвященных рентгеноструктурным исследованиям многослойных систем, наблюдалось несоответствие значений периода сверхструктуры  $\Lambda$ , рассчитанных по формулам

$$\Lambda = nd_A + md_B, \quad (4)$$

$$\Lambda = \frac{\lambda_x}{2(\sin \theta - \sin \theta \pm)}, \quad (5)$$

где  $\lambda_x$  — длина волны рентгеновского излучения;  $\theta \pm$  — угловое положение сателлитных отражений со стороны больших (+) и меньших (-) углов.

Для того чтобы ответить на эти и другие вопросы, представим формулу (1) в виде суммы трех составляющих, обозначив предварительно первую сумму под знаком модуля через  $A$ , вторую через  $B$ ,

$$J_{\Sigma} = |A + B|^2 = AA^* + BB^* + AB^* + BA^* = J_1 + J_2 + J_{12}, \quad (6)$$

где  $A$ ,  $B$  — комплексные числа вида  $e^{i\varphi}$ , описывающие волновой характер процесса дифракции рентгеновских лучей;  $A^*$ ,  $B^*$  — их комплексно-сопряженные.

Таким образом, суммарная интенсивность  $J_{\Sigma}$  является результатом сложения и взаимодействия трех составляющих:  $J_1 = AA^*$ ,  $J_2 = BB^*$  описывают вклад в общую интенсивность волн, отраженных от плоскостей Co (111) и Cu (111) соответственно;  $J_{12} = AB^* + BA^*$  характеризует взаимодействие волн, дифрагированных на искусственной сверхструктуре в целом. Наглядный результат такого разложения представлен на рис. 1. Возвращаясь к формуле Вульфа—Брэгга и ее преобразованному виду (5), следует отметить, что имеется существенная разница между картиной дифракции рентгеновских лучей на атомных плоскостях одного элемента (случай массивного образца или однородной пленки)

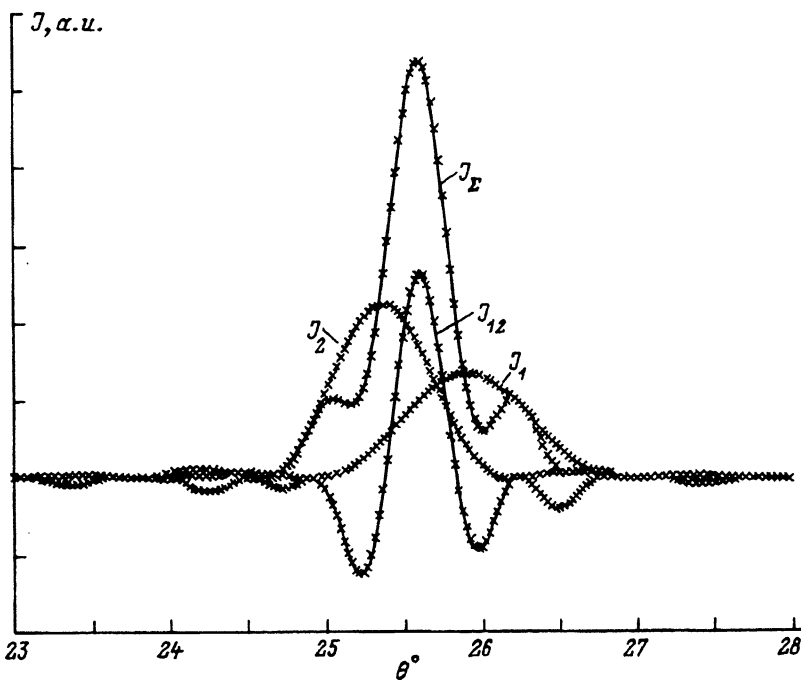


Рис. 1. Рассчитанный рентгеновский спектр  $J_{\Sigma}$  двухкомпонентной искусственной сверхструктуры Co/Cu ( $n = 27$ ,  $m = 33$ ), состоящий из составляющей интенсивности R-лучей, дифрагированных на  $n$  плоскостях кобальта —  $J_1$ ; на  $m$  плоскостях меди —  $J_2$ ; интерференционной составляющей —  $J_{12}$ .

и случаем, когда структура состоит из  $n$  плоскостей атомов одного сорта и  $m$  плоскостей атомов другого сорта (Co и Cu, например). В первом случае на угловое положение структурного рефлекса влияет множество причин (наличие дефектов, примесей, возникновение напряжений), приводящих в сжатию или расширению межплоскостных расстояний в направлении, перпендикулярном поверхности пленки, и соответственно к смещению структурного рефлекса в область больших или меньших углов. Формула Вульфа–Брэгга, выведенная из геометрического построения хода падающих и отраженных лучей ( $2d \sin \theta = n\lambda_x$ ) от плоскостей атомов одного сорта, позволяет по известному угловому положению максимума интенсивности рассчитать межплоскостное расстояние. Когда же пленка является упорядоченно-неоднородной в перпендикулярном ее поверхности направлении, т.е. многослойной, то существенное влияние на распределение интенсивности оказывает взаимодействие, т.е. интерференция волн, отраженных от плоскостей атомов разного сорта. Причем, как оказалось, вклад составляющих  $J_1$ ,  $J_2$  и  $J_{12}$  в результирующее распределение интенсивности  $J_{\Sigma}(\theta)$  существенно зависит от значений параметров ячейки сверхструктуры  $n$  и  $m$  и их соотношения. Рассмотрим конкретные случаи.

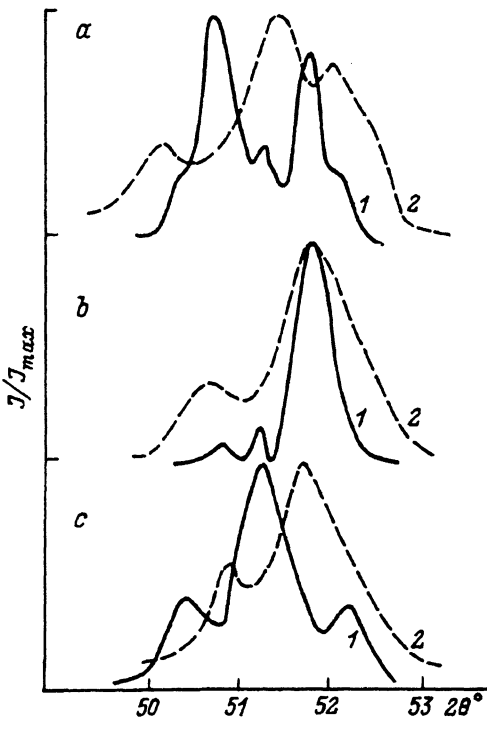


Рис. 2. Рассчитанные (1) и экспериментальные (2) спектры для многослойной системы Co/Cu, состоящей из бислоев, для которых  $n = 41$ ,  $m = 40$  (а),  $n = 139$ ,  $m = 33$  (б),  $n = 90$ ,  $m = 100$  (с).

1) Если  $n, m < 60$ , то рассчитанный рентгеновский профиль представляет собой один основной рефлекс, занимающий промежуточное положение между  $2\theta_{\text{Co}}^{(111)}$  и  $2\theta_{\text{Cu}}^{(111)}$  и сателлитные отражения малой интенсивности (рис. 2, 1, а). Во многих работах (например, [4]) авторы, наблюдая аналогичный R-спектр экспериментально, делали вывод о когерентности сверхструктуры и о существовании решетки, характеризующейся средним между  $d_A$  и  $d_B$  межплоскостным расстоянием ( $A, B$  — материалы, входящие в систему). Но такой вывод, по всей видимости, не является верным, так как промежуточное (между  $2\theta_A$  и  $2\theta_B$ ) расположение структурного рефлекса не обозначает, что межплоскостное расстояние также имеет значение, лежащее между  $d_A$  и  $d_B$ . Ведь такое же распределение интенсивности, рассчитанное для модели идеальной сверхструктуры, было получено в наших расчетах при условии, что имеется  $n$  плоскостей Co,  $m$  плоскостей Cu и абсолютно резкий переход от  $d_{\text{Co}}^{(111)} = 2.047 \text{ \AA}$  к  $d_{\text{Cu}}^{(111)} = 2.088 \text{ \AA}$ . Разложение такого спектра на три составляющие (рис. 1) позволяет сделать вывод о том, что при значениях  $n, m < 60$  существенную роль на распределение  $J_{\Sigma}(\theta)$  оказывает интерференционный член  $J_{12}(\theta)$ .

2)  $m < 60$ ,  $n = 55, 69, 139$ . Основной рефлекс по мере увеличения значения  $n$  смещается в область больших углов, и при  $n = 139$  его положение соответствует  $2\theta_{\text{Co}}^{(111)} = 51.9$ , т.е. перераспределение интенсивности происходит в сторону больших углов за счет увеличения вклада первого члена разложения  $J_1(\theta)$  (рис. 2, 2, а).

3) Если зафиксировано  $n < 60$ , а  $m$  увеличивается до 100, то происходит смещение основного рефлекса к угловому положению, соответствующему  $2\theta_{\text{Cu}}^{(111)} = 50.9^\circ$ .

4)  $n$  и  $m$  растут одновременно. Сначала ( $n, m \sim 70$ ) происходит разбиение основного рефлекса на два, которые при дальнейшем увеличении  $n, m \sim 150$  четко разделяются на  $2\theta_{\text{Co}}^{(111)} = 51.9^\circ$  и  $2\theta_{\text{Cu}}^{(111)} = 50.9^\circ$ , т.е. при таком наборе  $n$  и  $m$  роль интерференционного члена  $J_{12}$  слаба, а компоненты разложения  $J_1$  и  $J_2$  определяют вид распределения  $J_\Sigma(\theta)$  (рис. 2, 3, a).

Экспериментальные спектры (рис. 2, a-c) в сопоставлении с рассчитанными по модели идеальной сверхструктуры были получены для образцов многослойных пленок Co/Cu, электроосажденных из одного электролита в импульсном режиме по методике, описанной в работе [5]. Для получения качественной картины фазового состава и с целью исключения возможного влияния подложки на процессы зарождения и роста электролитического осадка Co/Cu (в условиях электроосаждения велика роль эпитаксии) осаждение велось на подложки из ситалла с химически осажденным на него подслоем NiP (аморфный, немагнитный). Оценка толщины слоев, составляющих систему Co/Cu, производилась по определенной ранее скорости и заданным длительностям импульсов осаждения чередующихся элементов Co и Cu. Приняв во внимание то, что многие факторы, влияющие на распределение интенсивности рентгеновских лучей, дифрагированных на реальной сверхструктуре, такие как флуктуации размеров единичной ячейки, наличие искажений межплоскостных расстояний у границы раздела двух слоев и т.п., в данной численной модели не учитывались, можно говорить о хорошем соответствии рассчитанных и экспериментальных спектров для многослойных систем Co/Cu с конкретными значениями  $n$  и  $m$ . Следовательно, осуществимо решение обратной задачи: по известному спектру, полученному экспериментально, определить значение параметров сверхструктуры  $n$  и  $m$ . Период сверхструктуры, определенный как  $\Lambda = nd_A + m\bar{d}_B$  по вычисленным таким образом значениям  $n$  и  $m$ , будет иметь значение в большей степени приближенное к реальному, нежели значение  $\Lambda$ , определенное по формуле

$$\Lambda = \frac{\lambda_x}{2(\sin \theta - \sin \theta^\pm)}.$$

Таким образом, проведенные дополнительные расчеты с использованием разложения  $J_\Sigma(\theta) = J_1(\theta) + J_2(\theta) + J_{12}(\theta)$  позволили ответить на вопросы, поставленные в работе [1].

1) Для искусственных сверхструктур слоистого типа (многослойные пленки) нет простой известной связи (формула Вульфа-Брэгга) между угловым положением максимума интенсивности на R-спектре и межплоскостным расстоянием  $d$ .

2) Распределение интенсивности по  $\theta$  определяется значениями количества атомных плоскостей ( $n$  и  $m$ ) в слоях чередующихся элементов, их соотношением.

3) Расчет периода мультислойной структуры из сателлитных отражений у основных структурных рефлексов, так же как и имеющиеся

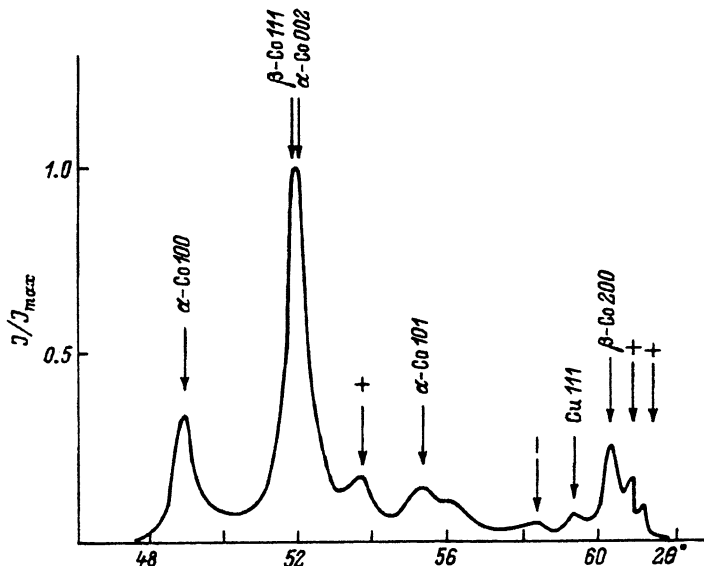


Рис. 3. Рентгенограмма многослойной пленки Co/Cu, имеющей толщину слоев  $h_{Co} = 140$  nm.

в экспериментальных работах выводы о существовании системы, характеризующейся промежуточной между  $d_A$  и  $d_B$  величиной межплоскостного расстояния, не является истинным.

4) Само по себе наличие сателлитов или структурных рефлексов, занимающих промежуточное положение между  $2\theta_A$  и  $2\theta_B$  на рентгеновском экспериментальном спектре, естественно является отражением того факта, что в исследуемой системе имеется чередование слоев элементов A и B. Все же количественные оценки и расчеты параметров сверхструктуры (период, количество атомных плоскостей в слое) необходимо осуществлять на основе кинематической теории рассеяния с учетом роли взаимодействия R-лучей, отраженных от плоскостей разного сорта атомов.

Следует также отметить, что в данной работе велась речь о многослойной структуре Co/Cu, у которой толщины слоев были  $h_{Co} = 10 \div 300$ ,  $h_{Cu} = 10 \div 150$  Å.

Результаты исследования магнитных свойств и микроструктуры таких Co/Cu, а также более сложных систем CoNiW/Cu, CoFeP/Cu, Fe/Cu изложены в работах [6-8].

Выход за границы указанного выше интервала ( $h_{Co} > 300$  Å) позволил получить структуру, характеризующуюся наличием трех фаз: ГЦК Cu, ГЦК Co, ГПУ Co (рис. 3). Аналогичный результат был получен для системы CoNiW/Cu [8]. Появление рефлексов, которые, очевидно, относятся к ГПУ Co:  $2\theta = 48.9^\circ$  ( $\alpha$  - Co(100)),  $2\theta = 55.4^\circ$  ( $\alpha$  - Co(101)), говорит о том, что до толщин слоя  $\sim 300$  Å кобальт растет эпитаксиально в ГЦК фазе на ГЦК меди. Затем происходит фазовый переход, и далее слой кобальта формируется в равновесной ГПУ фазе. Полученная таким образом система еще более неоднородна по своему фазовому составу и требует отдельного исследования, так же как и другие, полу-

ченные в режимах сверхкоротких импульсов (несколько миллисекунд), пленки Co/Cu. В этом случае не происходит формирования слоя (под слоем понимается кристаллическое образование, имеющее свою кристаллографическую структуру, размеры которого в плоскости покрытия на несколько порядков превосходят размеры по нормали), а имеются отдельные вкрапления магнитной фазы (Co, Fe и пр.) в немагнитной матрице (Cu), или наоборот. Такого типа неоднородность также формируется при электроосаждении в импульсном режиме из одного электролита. Указанный метод позволяет получать широкий спектр нового класса магнитных материалов — пространственно-модулированных структур: мультислойные магнитные пленки, нанокристаллитные системы и неоднородные сплавы [9].

Полученные результаты по изменению температурной зависимости намагниченности [10] говорят о сложном характере магнитного взаимодействия, о наличии как прямого ферромагнитного взаимодействия между магнитными «островками» Co, так и антиферромагнитного, что создает предпосылки проявления гигантского магнитосопротивления у систем, имеющих такой тип неоднородности. Исследования, начатые в этом направлении, находятся в начальной стадии.

### Список литературы

- [1] Касютич О.И., Федосюк В.М., Макутина Л.Н., Макутин Г.В. // ФТТ. 1992. Т. 34. № 9. С. 2861–2866.
- [2] Moyer K.E., Felecher G.P., Sinno S.K. et al. // J. Appl. Phys. 1981. V. 52. N 11. P. 6608–6610.
- [3] Kim C., Qadri S.B., Lubitz P. et al. // Mater. Sci. Engineer. 1990. V. A126. P. 25–28.
- [4] Gyorgy E.M., McWhan D.B., Dillon J.F. et al. // Phys. Rev. B. 1982. V. 25. N 11. P. 6739–6747.
- [5] Федосюк В.М., Шелег М.У., Касютич О.И., Козич Н.Н. // Поверхность. 1991. Т. 33. N 11. С. 115–119.
- [6] Fedosyuk V.M., Kasyutich O.J. // J. Magn. and Magn. Mater. 1993. V. 125. P. 330–334.
- [7] Vasilyev E.A., Tkachenko T.M., Fedosyuk V.M. et al. // J. Magn. Magn. Mater. 1992. V. 111. P. 34–38.
- [8] Fedosyuk V.M., Kasyutich O.J. // Thin. Solid. Films. 1993. V. 230. P. 4–6.
- [9] Федосюк В.М. // Зарубежная радиоэлектроника. 1994. № 2–3 (принята к опубликованию).
- [10] Федосюк В.М., Касютич О.И., Мухортов В.В. // Металлы. 1994 (принята к опубликованию).

Институт физики твердого тела  
и полупроводников АН Беларуси  
Минск

Поступило в Редакцию  
28 февраля 1994 г.